

(69) 多径間連続高架橋の模型振動実験

建設省土木研究所 正員 上田 治

正員 萩原 良二

首都高速道路公団 正員 中川 誠志

1. まえがき

これまでの高速道路高架橋の構造は単純桁形式を主体としており、連続桁形式は支間長などの制約をうけた場合にのみ採用されることも多い。しかし単純桁形式では伸縮装置の数が多くなること、走行性や走行部からの騒音振動などの問題を生むことがある。このような問題に対する対策法の一つとして、連続径間数をふやすといわゆる多径間連続高架橋形式の採用が考えられる。首都高速葛飾川口線 KT 38工区で採用された12径間連続高架橋はその一つで、全体橋長 507.5m、各支間長 40.5~44.0m とし、上部構造は鋼連続箱桁、下部構造は鉄筋コンクリート H 型橋脚とされている。また13橋脚中、中央部 9 橋脚は、上部構造と共に固定された支承形式となる。図-1。この多径間連続高架橋はこのように従来の橋梁とは異なる構梁規模と構造形式となる。耐震設計にあたり、2 つは、具体的な設計例に対し 2 次的応答解析を行うほか、模型振動実験によることの振動特性を調査することとしたのである。

本文は、12径間連続高架橋の振動特性をしきりにほか、同一の橋梁構造（全長、支間長）を有しながら、構造形式の異なる場合の振動特性を調べるために、各橋脚支点上にオイルダンパーを有する多径間連続高架橋（以下ダニヘル一桁形式といふ）、および単純桁が連続する高架橋（以下単純桁形式といふ）の模型振動実験を行ない、各々の支承構造形式の振動特性を比較したのである。

2. 多径間連続高架橋（ヒンシ一桁形式）について

ヒンシ一桁形式基本とされる多径間連続高架橋では、温度変化による桁伸縮力を解放するため、中央部橋脚の橋脚方向剛性を高く、端部と余りにかけた橋脚剛性を低下させる必要がある。このようなく配分の傾向は橋脚直角方向についでも生じることとなる。ヒンシ一桁形式の多径間橋につい 2 次的応答解析を行なった結果、橋脚方向応答は上部桁の軸方向剛性に比して各橋脚の変形拘束度は小さいので、全体が 1 対点一振子モデルにおけるかえりも、固有周期の算出などには十分な精度が得られるが、橋脚直角方向についでは、上部桁の面内剛性が各橋脚の拘束度に比して小さいので、卓越モードが分散し、複雑な応答を示すことが知られた。したがって、2 橋脚直角方向の応答の確認が、ヒンシ一桁形式の多径間連続橋では最も大切であり、さらにそれを影響するものとして、上部構造の面内剛性にあよくて床版の影響、両端溝岸構梁からの拘束の影響の確認が必要が認められた。

3. 模型の概要

高架橋模型はアクリル樹脂を主材料とし、質量調整のために鋼材等を用いている。また、くい基礎は板ばねにより模型化した。模型と実橋の相似比は表-1 のように設定した。

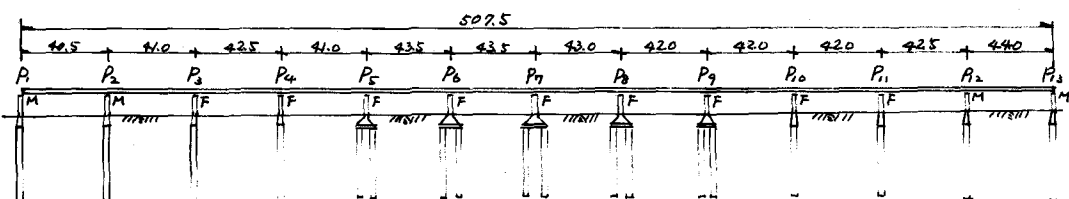
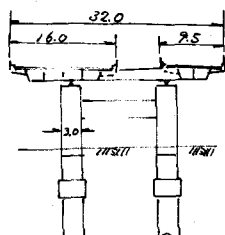


図-1 12 径間連続高架橋

たが、振動台の大さきの制約から、長さ比につい2橋脚高さ $\frac{1}{25}$ 、橋脚間隔（橋長） $\frac{1}{65}$ と変えており、これに伴なつ、2断面剛性比を橋脚と上部構造で変化させている。

ヒンジ形式の模型は図-1の12径間連続高架橋を基本とし、並に橋軸直角方向に同じ2つもの条件で実験可能なようとした。

- ① ヒンジリート床版剛性、および床版端部の隣接橋梁からの拘束の影響とともに考慮しない場合（基本型）
- ② 両端橋脚を十分剛性の高い鋼製枠で拘束し、隣接橋梁からの拘束を考慮した場合（隣接梁考慮）

- ③ ヒンジリート床版剛性の影響を考慮した場合（床版剛性考慮）

ダンパー形式と単純桁形式の模型作成にあたっては、図-1の実橋と同一規模を有する橋梁を別途簡易設計したうえで、表-1の相似比に従い製作した。

ダンバー形式の橋軸方向加振時は、ダンバーの質量が支点に大きく影響する。実験に際して、オイル形式ダンバーを別途製作し、各橋脚上の支承部に取付けた。この模型ダンバーは、シリコンオイルを用いアクリル樹脂板とネジ回りスキャマで構成するところによく、減衰効果をもつもので、本実験では減衰係数 $C = 0.8$ および 1.7 kg sec/cm の値を用いた。

測定内容は橋脚と下端における応答加速度、および橋脚下端のひずみ測定を基本とし、その他、橋上および加振台上への加速度測定を適宜追加してある。また計測対象橋脚は13脚の内7基（P₄, P₇, P₈, P₉, P₁₀, P₁₂, P₁₃）である。

4. 実験の概要

振動実験における入力条件はつまのとおりである。

- ① ラニダム波 3~25 Hz の周波数領域のパワースペクトルがほぼ一定の波形 (100~200 gal)
- ② 模擬地震波 ①のラニダム波にテーゼモドカリ2倍速度振幅を漸増および漸減させた波形 (100~200 gal)
- ③ 正弦波 4~20 Hz の周波数範囲で2 Hzおきみ (50 gal)

ただし実験はラニダム波を模擬地震波を主とし、正弦波のデータは参考値とした。

5. 模型体の応答解析

振動実験に用いた高架橋模型を対象に動的解析モデルを設定し、実験値と計算値の比較を行うことによりて実験結果の検証を行うとともにこの種橋梁の動的解析モデルの位置づけの検証を行った。解析モデルは通常行わるといふ多節点梁系のモデルによるが、ダンバーもモデルはえ来震算解析が追従困難などから多いので、全体を1自由度形状構造として、減衰常数を幾々

	相似比
長さ	橋脚高さ $\frac{1}{25}$, 橋脚間隔 $\frac{1}{65}$
剛性係数	$1/34.7$
密度	$1/2$
時間	$1/6$
加速度	$1/0.694$
断面剛性	橋脚 $1/3.6 \times 10^7$, 上部構造 $1/238 \times 10^6$
粘性係数	$1/5.21 \times 10^3$

表-1 相似比

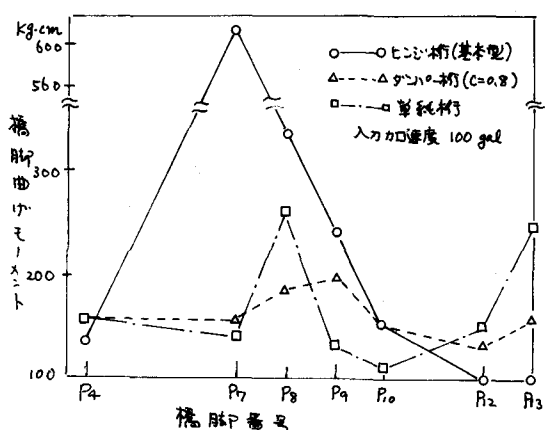


図-2 構造種別比較（橋軸方向）

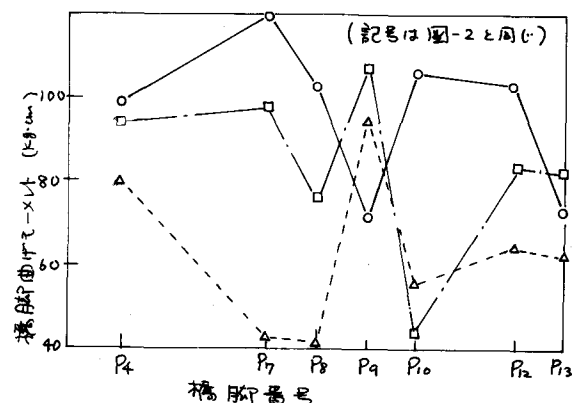


図-3 構造種別比較（橋軸直角方向）

仮定し計算し、実験結果の妥当性のチェックにとどめることとした。

6. 実験結果

計測は加速度および橋脚下端のひずみについて2行、2列あるが、ここではひずみから求めた橋脚下端曲げモーメントについて2つである。図-2および3は、ヒンハ、タンハ、単純桁の構造別比較を行ったものである。橋脚方向についてみると、ヒニシモデルは剛性の大きい中央部橋脚に曲げモーメントが集中しており、橋脚剛性と反力分布の関連傾向がみとめられる。

図-4はヒニシモデルについて、橋脚方向の計算値と実験値を較べたものである。分布の傾向は両者合致しているが、減衰係数については実験値は5%より少し大きいようである。図-5は橋脚直角方向の結果である。隣接二層間の拘束の影響は明確ではないか、詳細にみると端部附近に局部的に影響はあるがなく、中央部の橋脚にはほとんどみられないようである。本橋剛性を考慮した場合、曲げモーメントの分布が均等化する傾向にあるが、两者とはいえない。計算値についても同様である。また減衰係数についてみると、横型体は5~10%の間にあらうに思われる。

図-6はタンハ一桁の場合である。図には実験値のほか、計算値として1自由度系の計算モデルで減衰係数を仮定して求めた結果を示してある。全橋脚の平均値に関すると言えば、実験時に設定した減衰係数($C=0.8$ またはトワ $\pm 20\%$)のときとは著しい計算結果を与えるのは、あまり多くない減衰係数の場合である。計算でのモデル化の方達にも問題はあると思われるが、その他に、横型体では上下部構造間のまつなど、タンハ一桁の構造減衰がかなり大きくなると言えよう。

図-7は単純桁の場合である。減衰係数についてみると、実験値はともに10%あることはそれ以上のようと思われる。

図-8はヒニシ桁の応答比速度について、隣接部の計算値と実験値を比較したものである。両者ともよく一致を示していることから、横型に対するモデル化が適切であり、従って一般にどうかといふ多質実梁系のモデル化の手法は主なものであることが認められる。

7. 構造形式による応答の傾向

構造形式間の比較をより明らかにするために橋脚曲げモーメントを実物レールに換算して考察してみる。表-2の橋脚方向の応力をみるとヒニシ桁は他の構造にくらべてかなりレールが

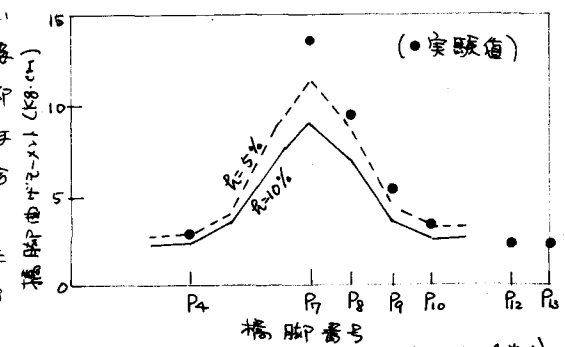


図-4 ヒニシ桁(橋軸方向, 1gal あたり)

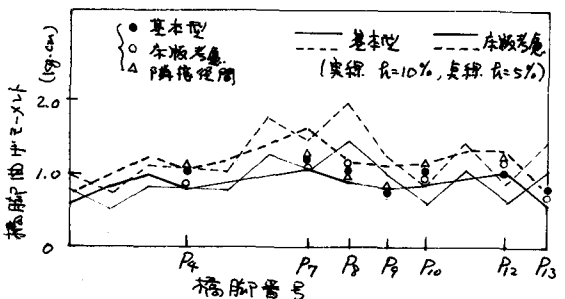


図-5 ヒニシ桁(橋軸直角方向, 1gal あたり)

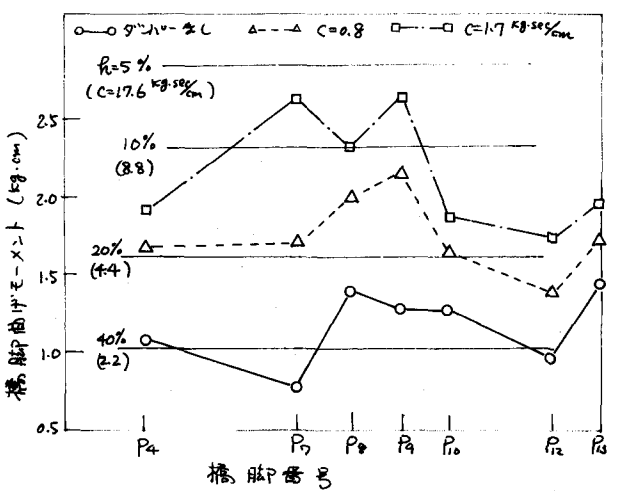


図-6 タンハ一桁(橋軸方向, 1gal あたり)

高くなっている。これは橋脚剛性をコントロールするため断面寸法に制約がありこのかわり鉄筋量を増すなど、設計上厳しい制約をうける構造となるためである。静的荷重応答加力によれば、上部工重量が一定であれば橋脚に作用する曲げモーメントは同じであるが、動的荷重応答では構造物の減衰や固有振動数の影響をうける。表-3の値は橋脚曲げモーメントの和を示したもので、曲げモーメントの変化は、系の構造減衰の変化を示すと考えよ。表-2の直角方向についには3形式と半模型差があるとは言えない。

結局、これらの考察から、ヒニシ桁は構造減衰が少い構造で、応答剛性としては大きくともその半であるが、反面、構造物の応答解剖で不明確な要素が減ることによる計算の精度が向上することとなり、十分な既成の半と合理的な設計が可能な構造形式であると言える。

8.まとめ

① 刚性と反力分配 上部構造の慣性力による水平反力の分担は橋脚の剛性によると支配されることが実験においても確認されたことであった。特にヒニシ桁では中央部の高剛性脚に反力を分担される。

② 橋脚経間からの拘束 ヒニシ桁の直角方向に振動する際の、隣接経間からの拘束影響は端脚において局部的にみられるが、その影響は小さく、単独系として取扱うよい。

③ 本版の剛性 ヒニシ桁が直角方向に振動する際の本物剛性の影響は、橋脚曲げモーメントに均一化の傾向はみらざるが、その影響は小さい。

④ 構造種別の特性 単純桁とヒニシ桁では構造減衰が応答に大きく影響するが、減衰の定量的把握はむづかしい。ヒニシ桁では構造減衰は小さく、曲げモーメントなどの応答剛性が大きくなる。(しかし振動時の不確定要素が多く、多質実梁系モデルの運動的挙動で十分な精度で予測することは必ず能な構造形式であるといえる)。

⑤ 応答解析におけるモデル化 橋壁に属する応答計算値と実験値はよく一致しており、このことから応答解析におけるモデル化の方法が妥当なものといえる。

参考文献

- (1) 高速道路調査会：都市高速道路高架橋の新しい構造形式に関する調査研究委員会報告書(2の3)，昭和55年3月
- (2) 海老根，宮原，秋元，中川：多径間連続高架橋の設計につい2，25回構造工学シンポジウム，土木学会，1979

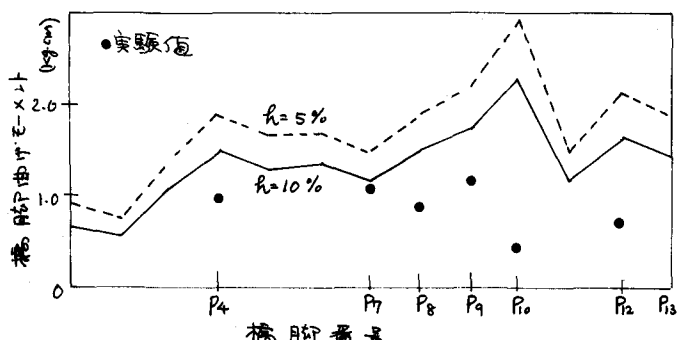


図-7 単純桁(橋軸直角方向, 1gal 当り)

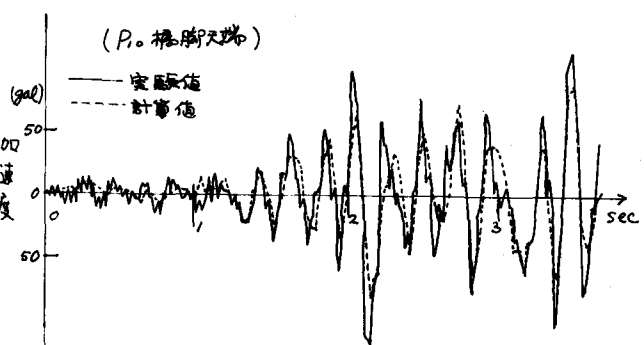


図-8 力の減衰率の時間応答(ヒニシ桁, 橋軸方向)

構 別	方 向	橋脚番号							備 考
		P ₄	P ₇	P ₈	P ₉	P ₁₀	P ₁₂	P ₁₃	
ヒニシ 桁	橋軸	63	93	67	88	70	36	39	
ヒニシ 桁	直角	23	16	16	15	35	22	15	
外 部 桁	橋軸	23	23	27	29	22	19	23	$c = a \cdot g \frac{1}{cm^2}$
外 部 桁	直角	12	7	6	15	9	10	10	
単 純 桁	橋軸	27	24	44	22	19	26	42	
単 純 桁	直角	16	16	13	18	7	14	14	

(単位 kg/cm², 入力 70 gal)

表-2 実橋脚との曲げ応力比の比較

	曲げモーメント	比
ヒニシ桁	8082 t-m	1.28
外部桁	6315	1.00
単純桁	6630	1.05

表-3

● 応答解剖におけるモデル化 橋壁に属する応答計算値と実験値はよく一致しており、このことから応答解剖におけるモデル化の方法が妥当なものといえる。